

УДК 537.311.33:546.21

Смынтына В. А.

**ДОНОРНО-АКЦЕПТОРНЫЕ КОМПЛЕКСЫ В ТОНКИХ СЛОЯХ  
СЕЛЕНИДА КАДМИЯ**

На свойства поверхности и объема полупроводников влияют дефекты донорного и акцепторного типа и соотношение их концентраций [1]. В пленках селенида кадмия основными донорами в большинстве случаев являются ваканции селена или междуузельные атомы кадмия, энергетические уровни которых отстоят от дна зоны проводимости соответственно на 0,14 и 0,3 эВ [2, 3]. Ваканции селена служат центрами хемосорбции атомарного кислорода, а молекулы  $O_2$  хемосорбируются главным образом на избыточных атомах кадмия. При этом энергия активации десорбции атома кислорода составляет 1,2 эВ, а для десорбции  $O_2$  необходима энергия активации 0,75 эВ [4]. Таким образом, по характеристикам хемосорбции кислорода ( $O_2^-$  или  $O^-$ ) можно определить, чем обогащена поверхность кристаллита — вакансиями селена или междуузельными атомами кадмия. Поскольку природа дефектов поверхности будет влиять на адсорбционную чувствительность  $\beta = (I_0 - I_a)/I_a$  ( $I_0$  — ток, протекающий через полупроводник до хемосорбции газа на его поверхности,  $I_a$  — установившееся значение тока после завершения хемосорбции), удельное сопротивление слоя в равновесных условиях  $\rho_t$  и при фотовозбуждении  $\rho_\phi$ , фоточувствительность  $\alpha = \rho_t/\rho_\phi$ , то совместные исследования этих параметров могут дать качественную информацию о природе донорных и акцепторных дефектов и взаимосвязи между изменениями их концентраций.

Исследовали пленки селенида кадмия толщиной  $(0,6 \pm 0,1)$  мкм с индивидуальными контактами щелевого типа. Величину  $I_0$  свеженапыленного в вакууме образца измеряли после изготовления и нагреваний его до  $200^\circ\text{C}$ . В случае отожженных образцов  $I_0$  измеряли после обезгаживания их в вакууме при  $250^\circ\text{C}$  и охлаждения до  $200^\circ\text{C}$ . При этой же температуре измеряли величину  $I_a$ . В [4] показано, что при рассматриваемой температуре межкристаллитные барьеры заметно не влияют на движение электронов.

Свеженапыленные слои селенида кадмия, полученные в одном технологическом цикле, имеющие величину  $\rho_{cb} = (3-4) \cdot 10^3 \text{ Ом}\cdot\text{м}$ , разделяли на две группы — с  $\beta_{cb} < 50$  (группа I) и с  $\beta_{cb} > 100$  (группа II): образцы отличались по природе основных доноров (вакансия селена — группа I, междуузельный кадмий — группа II) и по основной форме хемосорбции кислорода ( $O^-$  — группа I,  $O_2^-$  — группа II). Эти данные согласуются с тем, что основные доноры являются одновременно центрами адсорбции кислорода и определяют основную форму его хемосорбции [4].

Для уменьшения влияния предыстории образца на результаты эксперимента исследовали изменения относительных величин  $\rho' = \rho_{ot}/\rho_{cb}$  и  $\beta' = \beta_{ot}/\beta_{cb}$  отдельно у образцов групп I и II ( $\rho_{ot}$ ,  $\beta_{ot}$  — параметры отожженного образца,  $\rho_{cb}$ ,  $\beta_{cb}$  — свеженапыленного).

Исследования, проведенные с помощью рентгеновского дифрактометра ДРОН-2, показали, что как свеженапыленные, так и отожженные слои группы II состоят из гексагонального поликристаллического селенида кадмия. Однако после отжига при  $300^\circ\text{C}$  появляется оксидная фаза  $CdO$ , количество которой растет при повышении температуры отжига  $t_{ot}$ .

Если увеличение  $\rho'$  образцов группы II с ростом  $t_{ot}$  (рис. 1) обусловлено уменьшением общего количества избыточных атомов кадмия в кристаллах селенида кадмия, то изменение  $\beta'$  связано с уменьшением концентрации этих атомов на поверхности. Поскольку при условиях экспе-

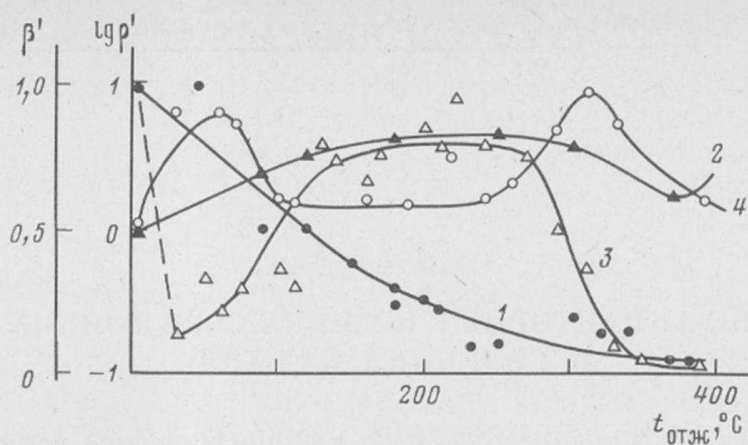


Рис. 1. Зависимости  $\beta'$  (1, 3) и  $\rho'$  (2, 4) образцов группы I (3, 4) и II (1, 2) от температуры отжига на воздухе

римента атомы кадмия не могут удаляться из слоя, то, принимая во внимание результаты дифрактометрических исследований, следует заключить, что эти атомы при повышении  $t_{\text{отж}}$  до  $300^{\circ}\text{C}$  диффундируют из объема кристаллитов на их поверхность, где, взаимодействуя с кислородом, теряют свою активность как доноры и как центры адсорбции. При  $t_{\text{отж}} > 300^{\circ}\text{C}$  слои селенида кадмия окисляются с образованием CdO, который, покрывая поверхность кристаллитов, уменьшает число центров адсорбции, а следовательно, и  $\beta'$  и попирает  $\rho'$  (рис. 1, кривые 1, 2).

Энергия активации диффузии атомов Cd, определенная по изменению сопротивления [5, 6], равна 0,11 эВ (рис. 2, кривая 1).

После отжига образцов группы I при  $50^{\circ}\text{C}$  одновременно произошли увеличение  $\rho'$  (рис. 1, кривая 4) и  $\alpha$  (рис. 3, кривая 1) и уменьшение  $\beta'$  (рис. 1, кривая 3) в 10 раз, что обусловлено уменьшением концентрации основных доноров (вакансий селена) как в объеме кристаллитов, так и на их поверхности. Повышение  $t_{\text{отж}}$  от 50 до  $160^{\circ}\text{C}$  уменьшает  $\rho'$  не более чем на порядок его величины и увеличивает подвижность носителей заряда в 1,5–2 раза. Поэтому спад  $\alpha$  более чем в 100 раз (рис. 3, кривая 1) нельзя объяснить лишь изменением  $\rho$ ; он связан с уменьшением концентрации центров медленной рекомбинации (следовательно, и с уменьшением времени жизни фотовозбужденных электронов  $\tau_n$ ), энергетическое расстояние которых от потолка валентной зоны, определенное по методу [7], равно 0,26 эВ. Эта энергия соответствует  $k$ -центраторам медленной рекомбинации, которыми в кристалликах селенида кадмия могут быть вакансы кадмия [8]. В отожженных при  $t_{\text{отж}} > 160^{\circ}\text{C}$  слоях селенида кадмия  $k$ -центры не обнаружены.

Таким образом, свойства свеженапыленных слоев селенида кадмия группы I определяют вакансы селена и кадмия. Вакансы кадмия образуются во время роста слоев, очевидно, в процессе самокомпенсации за счет смещения атомов кадмия из узлов решетки в междоузлия. Междоузельные атомы кадмия в слоях группы I неосновные доноры.

Во время прогрева при  $50^{\circ}\text{C}$  вакансы селена из приповерхностной области движутся на поверхность кристаллитов, где их накопление приводит к исчезновению последней плоскости из атомов селена. При этом резко уменьшается число адсорбционных центров, о чем свидетельствует уменьшение  $\beta'$  (рис. 1, кривая 3), и количество доноров, не компенсированных акцепторами. При  $t_{\text{отж}} > 50^{\circ}\text{C}$  повышается скорость движения вакансий селена из объема на поверхность, растет число восстановленных центров адсорбции и увеличивается  $\beta'$ . Поскольку зависимость  $\beta$  от  $t_{\text{отж}}$  определяется изменением  $\rho$ , следует ожидать, что эта зависимость будет иметь экспоненциальный вид, если она обусловлена диффузией вакансий селена. Действительно, наклон низкотемпературного участка кривой 3 на рис. 1 соответствует энергии активации 0,2 эВ (рис. 2, кривая 2), которая может характеризовать диффузию вакансий селена в кристалликах селенида кадмия.

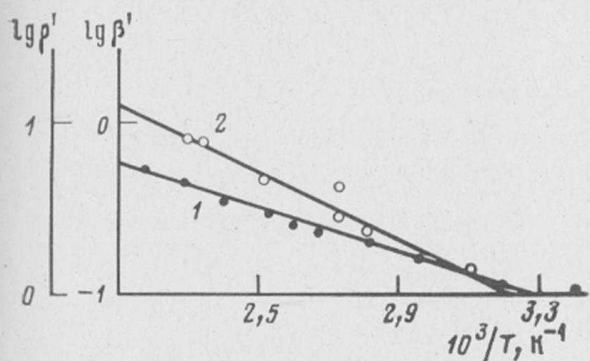


Рис. 2

Рис. 2. Температурные зависимости  $\rho'$  образцов группы II (1) и  $\beta'$  образцов группы I (2)

Рис. 3. Влияние температуры отжига на фоточувствительность  $\alpha$  образцов группы I (1) и II (2) при комнатной температуре

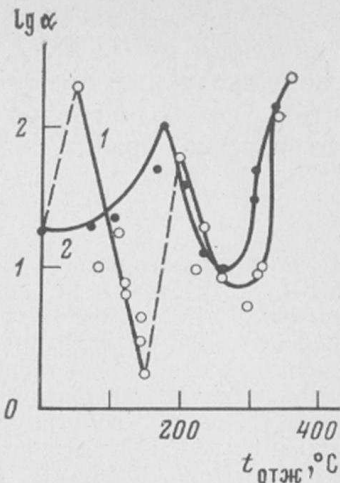


Рис. 3

В области  $t_{\text{отж}} > 100^\circ\text{C}$  для сохранения стабильности уровня компенсации одновременно с вакансиями селена исчезает и вакансия кадмия. Уровень концентрации вакансий кадмия уменьшается в результате заполнения их атомами кадмия, находившимися ранее в междоузлиях. Особенно четко эффект одновременного исчезновения вакансий кадмия и вакансий селена проявляется в области  $100-300^\circ\text{C}$ , где скорости вытекания вакансий селена через поверхность кристаллитов и их поступления на поверхность равны. При этом концентрации центров адсорбции, а следовательно, и  $\beta'$  остаются постоянными:  $\beta' = 0,75-0,8$  (рис. 1, кривая 3). Однако несмотря на то что общая концентрация доноров уменьшается,  $\rho'$  не изменяется (рис. 1, кривая 4). Этот факт заставляет считать, что при отжиге уменьшается концентрация скомпенсированных донорно-акцепторных пар (вакансия селена — вакансия кадмия), что согласуется с описанными выше изменениями  $\alpha$  и  $\tau_n$ .

При  $t_{\text{отж}} > 300^\circ\text{C}$  процесс обеднения объема кристаллита вакансиями селена и кадмия тормозится окислительными реакциями на поверхности, которые влияют на  $\beta'$  и  $\rho'$  слоев группы I так же, как и в случае слоев группы II (рис. 1, кривые 1—4).

Анализ дифрактограмм свеженапыленных образцов группы I показал, что структура их кристаллитов соответствует гексагональной модификации с примесью кубической фазы. При  $t_{\text{отж}} > 160^\circ\text{C}$  переход кубической фазы в гексагональную стимулирует скачкообразное увеличение  $\alpha$  (рис. 3, кривая 1). У слоев группы I, представляющих собой однофазный гексагональный селенид кадмия, в области  $t_{\text{отж}} = 160-300^\circ\text{C}$   $\alpha$  изменяется по тому же закону, что и у слоев группы II (рис. 3, кривые 1, 2), т. е. у обеих групп спад  $\alpha$  связан с уменьшением концентрации  $k$ -центров медленной рекомбинации — вакансий кадмия. На основании этих данных следует дополнить описанный выше механизм изменения  $\beta'$  у образцов группы II. Уменьшение  $\beta'$  с ростом  $t_{\text{отж}}$  обусловлено не только образованием химической связи с междоузельными атомами кадмия адсорбированных на поверхности молекул кислорода, но и уменьшением концентрации последних в объеме кристаллитов за счет перехода их в узлы решетки.

## ВЫВОДЫ

В слоях селенида кадмия гексагональной модификации наряду с донорно-акцепторными парами вакансия селена — вакансия кадмия содержатся избыточные междоузельные атомы кадмия. В образцах с примесью кубической фазы кроме донорно-акцепторных пар имеется избыток ва-

кансий селена. Таким образом, свойства образцов обоих типов определяются сложным комплексом дефектов вакансия кадмия — вакансия селена — междуузельный кадмий и соотношением между концентрациями этих дефектов. В свою очередь это соотношение зависит от типа кристаллической структуры образца.

#### Литература

1. Бьюб Р. Фотопроводимость твёрдых тел. М.: Изд-во иностр. лит., 1962.
2. Bube R. H., Barton L. A. Some aspects of photoconductivity in cadmium selenide crystals.— J. Chem. Phys., 1958, v. 29, p. 128.
3. Янушкевичюс З.-Р. Электрические и фотоэлектрические свойства дефектов в высокоменных кристаллах селенида кадмия: Автореф. дис. на соискание уч. ст. канд. физ.-мат. наук. Вильнюс: Вильнюсск. гос. ун-т, 1974.
4. Смытина В. А. Свойства реальной поверхности тонких пленок селенида кадмия.— Изв. АН СССР. Неоргн. материалы, 1982, т. 27, № 9, с. 1479.
5. Смытина В. А., Сердюк В. В. Диффузия кислорода в тонкие слои селенида кадмия.— Электрон. техника. Науч.-техн. сб. Материалы, 1976, № 6, с. 113.
6. Залубинская Л. Н., Вакарова И. С., Тартаковская И. А. Диффузия меди в тонкие слои CdS.— Изв. АН СССР. Неоргн. материалы, 1974, т. 10, № 6, с. 965.
7. Любченко А. В., Шейнкман М. К. Температурное гашение фототока и фотолюминесценции в широкозонных полупроводниках.— Укр. физ. ж., 1973, т. 18, № 2, с. 291.
8. Ващенов Ю. А., Сердюк В. В., Смытина В. А. О природе  $k$ -центров медленной рекомбинации в неоднородных тонких слоях селенида кадмия.— Тез. Республ. конф. «Фотоэлектрические явления в полупроводниках». Ужгород, 1979.

Одесский государственный университет  
им. И. И. Мечникова

Поступила в редакцию  
17.VI.1982